

Semismooth Newton-type method for bilevel optimization

Mario Correddu

Università di Pisa

Teoria e metodi dell'ottimizzazione
prof. Giancarlo Bigi

August 10, 2023

Risolvere il problema *upper-level* :

$$\min_{x,y} F(x,y) \quad t.c. \quad G(x,y) \leq 0 \quad y \in S(x), \quad (1)$$

$S(x)$ definito a partire dal problema *lower-level*:

$$\min_z f(x,z) \quad t.c. \quad g(x,z) \leq 0$$

in cui si ha:

$$S(x) = \operatorname{argmin}_z \{f(x,z) | g(x,z) \leq 0\}$$

Risolvere il problema *upper-level* :

$$\min_{x,y} F(x,y) \quad t.c. \quad G(x,y) \leq 0 \quad y \in S(x), \quad (1)$$

$S(x)$ definito a partire dal problema *lower-level*:

$$\min_z f(x,z) \quad t.c. \quad g(x,z) \leq 0$$

in cui si ha:

$$S(x) = \operatorname{argmin}_z \{f(x,z) | g(x,z) \leq 0\}$$

Supponiamo $F, f : \mathbb{R}^n \times \mathbb{R}^m \rightarrow \mathbb{R}$, $g : \mathbb{R}^n \times \mathbb{R}^m \rightarrow \mathbb{R}^q$ e
 $G : \mathbb{R}^n \times \mathbb{R}^m \rightarrow \mathbb{R}^p$ siano di classe C^2

E

$$S(x) \neq \emptyset$$

Supponiamo $F, f : \mathbb{R}^n \times \mathbb{R}^m \rightarrow \mathbb{R}$, $g : \mathbb{R}^n \times \mathbb{R}^m \rightarrow \mathbb{R}^q$ e $G : \mathbb{R}^n \times \mathbb{R}^m \rightarrow \mathbb{R}^p$ siano di classe C^2

E

$$S(x) \neq \emptyset$$

Definiamo:

$$\varphi(x) := \min_z \{f(x, z) \mid g(x, z) \leq 0\} \quad (2)$$

Il nuovo problema diventa:

$$\min_{x,y} F(x, y) \quad t.c. \quad G(x, y) \leq 0 \quad g(x, y) \leq 0 \quad f(x, y) \leq \varphi(x)$$

- un algoritmo che permetta la risoluzione dei problemi a partire dalla riformulazione
- presentare delle proprietà che garantiscano la convergenza globale del metodo
- presentare delle proprietà che portino alla convergenza a un minimo locale stretto

Notazioni

Fissiamo i punti (\bar{x}, \bar{y}) e $(\bar{x}, \bar{z}) \in \mathbb{R}^{n+m}$:

Definiamo:

$$I^1 := I^G(\bar{x}, \bar{y}) := \{i \mid G_i(\bar{x}, \bar{y}) = 0\}$$

$$I^2 := I^g(\bar{x}, \bar{y}) \quad e \quad I^3 := I^g(\bar{x}, \bar{z})$$

$$\eta^1 := \eta^G(\bar{x}, \bar{y}, \bar{u}) := \{i \mid \bar{u}_i = 0, G_i(\bar{x}, \bar{y}) < 0\},$$

$$\theta^1 := \theta^G(\bar{x}, \bar{y}, \bar{u}) := \{i \mid \bar{u}_i = 0, G_i(\bar{x}, \bar{y}) = 0\},$$

$$\nu^1 := \nu^G(\bar{x}, \bar{y}, \bar{u}) := \{i \mid \bar{u}_i > 0, G_i(\bar{x}, \bar{y}) = 0\},$$

$$\eta^2 := \eta^g(\bar{x}, \bar{y}, \bar{v}), \quad \theta^2 := \theta^g(\bar{x}, \bar{y}, \bar{v}), \quad \nu^2 := \nu^g(\bar{x}, \bar{y}, \bar{v})$$

e

$$\eta^3 := \eta^g(\bar{x}, \bar{z}, \bar{w}), \quad \theta^3 := \theta^g(\bar{x}, \bar{z}, \bar{w}), \quad \nu^3 := \nu^g(\bar{x}, \bar{z}, \bar{w})$$

.

$$\min_{x,y} F(x,y) + \lambda(f(x,y) - \varphi(x)) \quad t.c. \quad G(x,y) \leq 0 \quad g(x,y) \leq 0 \quad (3)$$

Definition

il problema 1 è partially calm in uno dei suoi punti ammissibili (\bar{x}, \bar{y}) se esistono $\lambda \in (0, \infty)$ e un intorno U di $(\bar{x}, \bar{y}, 0) \in \mathbb{R}^n \times \mathbb{R}^m \times \mathbb{R}$ tali che:

$$F(x,y) - F(\bar{x}, \bar{y}) + \lambda|\zeta| \geq 0$$

per ogni $(x,y,\zeta) \in U$ con $G(x,y) \leq 0$, $g(x,y) \leq 0$,
 $f(x,y) - \varphi(x) + \zeta = 0$.

Theorem

Sia (\bar{x}, \bar{y}) un punto di minimo locale per il problema 1. Allora il problema è partially calm in (\bar{x}, \bar{y}) se e solo se esiste $\lambda \in (0, \infty)$ tale che (\bar{x}, \bar{y}) è un punto di ottimo per 3.

Definition

le condizioni upper-level di Mangasarian Fromovitz (UMFCQ) valgono, per un punto (\bar{x}, \bar{y}) , se esiste $d \in \mathbb{R}^{n+m}$, tale che:

$$\nabla G_i(\bar{x}, \bar{y})^T d < 0 \text{ per ogni } i \in I^1 \quad \text{e} \quad \nabla g_j(\bar{x}, \bar{y})^T d < 0 \text{ per ogni } j \in I^2$$

Definition

Dato \bar{x} vale la condizione lower-level di Mangasarian Fromovitz (LMFCQ) se per ogni $z \in S(\bar{x})$, esiste $d \in \mathbb{R}^m$ tale che :

$$\nabla g_j(\bar{x}, z)^T d < 0 \text{ per tutti } i, j \text{ vincoli attivi in } (\bar{x}, z)$$

Theorem

Sia (x, y) un punto di minimo locale per il problema 1, *partially calm*.
Siano f e g_1, \dots, g_q convesse e supponiamo che valgano UMFCQ nel punto (\bar{x}, \bar{y}) e LMFCQ nel punto \bar{x} . Allora esistono $\lambda \in (0, \infty)$ e $u \in \mathbb{R}^p$, $(v, w) \in \mathbb{R}^q \times \mathbb{R}^q$ e $z \in \mathbb{R}^m$ tali che valgono :

$$\nabla_1 F(x, y) + \nabla_1 G(x, y)u + \nabla_1 g(x, y)v + \lambda \nabla_1 f(x, y) - \lambda \nabla_1 \ell(x, z, w) = 0 \quad (4)$$

$$\nabla_2 F(x, y) + \nabla_2 G(x, y)u + \nabla_2 g(x, y)v + \lambda \nabla_2 f(x, y) = 0 \quad (5)$$

$$\nabla_2 f(x, z) + \nabla_2 g(x, z)w = 0 \quad (6)$$

$$u \geq 0 \quad G(x, y) \leq 0 \quad u^T G(x, y) = 0 \quad (7)$$

$$v \geq 0 \quad g(x, y) \leq 0 \quad v^T g(x, y) = 0 \quad (8)$$

$$w \geq 0 \quad g(x, z) \leq 0 \quad w^T g(x, z) = 0 \quad (9)$$

- φ è convessa
- vale una versione generalizzata del teorema di Fritz John:

$$0 \in \nabla F(\bar{x}, \bar{y}) + \nabla G(\bar{x}, \bar{y})u + \nabla g(\bar{x}, \bar{y})v + \lambda \nabla f(\bar{x}, \bar{y}) + \lambda \begin{pmatrix} \partial(-\varphi)(\bar{x}) \\ \{0\} \end{pmatrix}$$

-

$$\partial\varphi(x) = \nabla_1 f(x, z) + \{w \nabla_1 g(x, z) \mid w \geq 0, w_i = 0 \text{ per i vincoli i inattivi}\}$$

Sia

$$\phi(a, b) = \sqrt{a^2 + b^2} - a - b$$

.

Sia

$$\phi(a, b) = \sqrt{a^2 + b^2} - a - b$$

. Poniamo:

$$\phi^G(x, y, u) = \begin{pmatrix} \phi(-G_1(x, y), u_1) \\ \vdots \\ \phi(-G_p(x, y), u_p) \end{pmatrix} \quad e \quad \phi^g(x, y, v) = \begin{pmatrix} \phi(-g_1(x, y), v_1) \\ \vdots \\ \phi(-g_p(x, y), v_p) \end{pmatrix}$$

Sia

$$\phi(a, b) = \sqrt{a^2 + b^2} - a - b$$

. Poniamo:

$$\phi^G(x, y, u) = \begin{pmatrix} \phi(-G_1(x, y), u_1) \\ \vdots \\ \phi(-G_p(x, y), u_p) \end{pmatrix} \quad e \quad \phi^g(x, y, v) = \begin{pmatrix} \phi(-g_1(x, y), v_1) \\ \vdots \\ \phi(-g_p(x, y), v_p) \end{pmatrix}$$

e

$$\mathcal{L}^\lambda(x, y, u, v) = F(x, y) + u^T G(x, y) + v^T g(x, y) + \lambda f(x, y)$$

$$L^\lambda(x, y, z, u, v, w) = \mathcal{L}^\lambda(x, y, u, v) - \lambda \ell(x, z, w)$$

Riformulazione del sistema

Definiamo per $\zeta := (x, y, z, u, v, w)$:

$$\Phi^\lambda(\zeta) := \begin{bmatrix} \nabla L^\lambda(\zeta) \\ \phi^G(x, y, u) \\ \phi^g(x, y, v) \\ \phi^g(x, z, w) \end{bmatrix}$$

Allora il sistema del teorema è equivalente a chiedere $\Phi^\lambda(\zeta) = 0$

Riformulazione del sistema

Definiamo per $\zeta := (x, y, z, u, v, w)$:

$$\Phi^\lambda(\zeta) := \begin{bmatrix} \nabla L^\lambda(\zeta) \\ \phi^G(x, y, u) \\ \phi^g(x, y, v) \\ \phi^g(x, z, w) \end{bmatrix}$$

Allora il sistema del teorema è equivalente a chiedere $\Phi^\lambda(\zeta) = 0$
Consideriamo ora:

$$\Psi^\lambda(\zeta) := \frac{1}{2} \|\Phi^\lambda(\zeta)\|^2$$

differenziabile con derivata continua.

Definition

Data $\psi : \mathbb{R}^n \rightarrow \mathbb{R}^m$, Lipschitz intorno a un punto \bar{x} lo Jacobiano generalizzato secondo Clarke è definito come :

$$\partial\psi(\bar{x}) := \text{conv}(\partial_B\psi(\bar{x}))$$

dove

$$\partial_B\psi(\bar{x}) := \left\{ \lim_{n \rightarrow \infty} \nabla\psi(x^n) \mid x^n \rightarrow \bar{x}, x^n \in D_\psi \right\}$$

Definition

Data $\psi : \mathbb{R}^n \rightarrow \mathbb{R}^m$, Lipschitz intorno a un punto \bar{x} , ψ è detta semismooth in \bar{x} se esiste per ogni $d \in \mathbb{R}^n$ il limite:

$$\lim_{\substack{V \in \partial\psi(\bar{x} + td') \\ d' \rightarrow d, \quad t \rightarrow 0}} Vd'$$

Algorithm Semismooth Newton algorithm

Passo 0: Si scelgono $\lambda > 0$, $\beta > 0$, $\epsilon \geq 0$, $t > 2$, $\rho \in (0, 1)$, $\sigma \in (0, \frac{1}{2})$, $\zeta_0 := (x^0, y^0, z^0, u^0, v^0, w^0)$.

Sia $k = 0$

Passo 1: while $\|\Psi^\lambda(\zeta^k)\| > \epsilon$ repeat:

Passo 2: Scegli $W^k \in \partial_B \Psi^\lambda(\zeta^k)$ e calcola la soluzione del sistema :

$$W^k d = -\Phi^\lambda(\zeta^k)$$

Se il sistema non ha soluzione o la condizione $\nabla \Psi^\lambda(\zeta^k)^T d^k \leq -\beta \|d^k\|^t$ è violata allora si pone semplicemente:

$$d^k := -\nabla \Psi^\lambda(\zeta^k)$$

Passo 3: trova il più piccolo intero s_k tale che

$$\Psi^\lambda(\zeta^k + \rho^{s_k} d^k) \leq \Psi^\lambda(\zeta^k) + \sigma \rho^{s_k} \nabla \Psi^\lambda(\zeta^k)^T d^k$$

Passo 4: Poni $\alpha_k = \rho^{s_k}$, $\zeta^{k+1} := \zeta^k + \alpha_k d^k$, $k := k + 1$

Definition

Sia $h : \mathbb{R}^k \rightarrow \mathbb{R}^k$. Diremo che h è BD-regolare nel punto x se ogni elemento di $\partial_B h(x)$ è non singolare. Similarmente h sarà CD-regolare in x se ogni elemento di $\partial h(x)$ è non singolare

Theorem

Valgono le seguenti:

- (a) Ogni punto di accumulazione della successione $\{\zeta_k\}$ generata dall'algoritmo è un punto stazionario di Ψ .*
- (b) Se uno dei punti limiti della successione $\{\zeta_k\}$, supponiamo ζ^* , è una soluzione BD-regolare del sistema $\Phi^\lambda = 0$, allora la convergenza è superlineare; se inoltre le F, G, f, g ammettono anche Hessiano Lipshitziano, allora la convergenza è quadratica.*

Definition

La qualificazione dei vincoli lower-level data da indipendenza lineare (LLICQ) è data da

$$\{\nabla_2 g_i(\bar{x}, \bar{z}) | g_i(\bar{x}, \bar{z}) = 0\}$$

è linearmente indipendente.

La qualificazione dei vincoli versione upper level di indipendenza lineare (ULICQ) è data dalla proprietà:

$$\{\nabla G_i(\bar{x}, \bar{y}) : i \in I_1\} \cup \{\nabla g_j(\bar{x}, \bar{y}) : j \in I_2\} \quad (10)$$

sono una famiglia linearmente indipendente

Definition

La qualificazione dei vincoli lower-level data da indipendenza lineare (LLICQ) è data da

$$\{\nabla_2 g_i(\bar{x}, \bar{z}) | g_i(\bar{x}, \bar{z}) = 0\}$$

è linearmente indipendente.

La qualificazione dei vincoli versione upper level di indipendenza lineare (ULICQ) è data dalla proprietà:

$$\{\nabla G_i(\bar{x}, \bar{y}) : i \in I_1\} \cup \{\nabla g_j(\bar{x}, \bar{y}) : j \in I_2\} \quad (10)$$

sono una famiglia linearmente indipendente

Il cono delle direzioni ammissibili dato da:

$$Q(\bar{x}, \bar{y}, \bar{z}) := \{d | \nabla G_i(\bar{x}, \bar{y})d^{1,2} = 0, \quad i \in \nu^1, \quad \nabla g_j(\bar{x}, \bar{y})d^{1,2} = 0, \\ j \in \nu^2, \quad \nabla g_j(\bar{x}, \bar{z})d^{1,3} = 0, \quad j \in \nu^3\}$$

Theorem

Sia $\bar{\zeta} := (\bar{x}, \bar{y}, \bar{z}, \bar{u}, \bar{v}, \bar{w})$, che soddisfa il sistema 4-9 per un certo $\lambda > 0$.
Supponi che valga la versione upper level di qualificazione dei vincoli data da indipendenza lineare (ULICQ) e la qualificazione dei vincoli lower-level data da indipendenza lineare (LLICQ) nel punto (\bar{x}, \bar{z}) . Se inoltre:

$$(d^{1,2})^T \nabla^2 \mathcal{L}^\lambda(\bar{\zeta}) d^{1,2} > \lambda (d^{1,3})^T \nabla^2 \ell(\bar{\zeta}) d^{1,3} \quad (11)$$

per ogni $d \in Q(\bar{x}, \bar{y}, \bar{z}) \setminus \{0\}$ e $\theta^3(\bar{x}, \bar{z}, \bar{w}) = \emptyset$ allora Φ^λ è CD-regolare nel punto $\bar{\zeta}$.

Definition

Data una funzione $\psi : \mathbb{R}^n \rightarrow \mathbb{R}^m$, la sua derivata direzionale in \bar{x} nella direzione d è definita come:

$$\psi'(\bar{x}; d) = \lim_{t \downarrow 0} \frac{1}{t} (\psi(\bar{x} + td) - \psi(\bar{x}))$$

Definition

Data una funzione $\psi : \mathbb{R}^n \rightarrow \mathbb{R}^m$, la sua derivata direzionale seconda in \bar{x} nella direzione d ed e è definita come:

$$\psi''_{\lambda}(\bar{x}, \bar{y}; d; e) = \lim_{t \downarrow 0} \frac{1}{t^2} \left[\psi \left(\bar{x} + td + \frac{1}{2}t^2e \right) - \psi(\bar{x}) - t\psi'(\bar{x}; d) \right]$$

Theorem

sotto opportune ipotesi valgono le seguenti formule per le derivate direzionali di φ :

$$\varphi'(\bar{x}, d) = \min_{z \in S(\bar{x})} \nabla_1 \ell(\bar{x}, z, w_z)^T d$$

$$\varphi''(\bar{x}; d, e) = \min_{z \in S_1(\bar{x}; d)} \left\{ \nabla^2 \ell(\bar{x}, z, w_z) e + \xi_d(\bar{x}, z) \right\}$$

dove $S_1(\bar{x}; d) = \operatorname{argmin}_{z \in S(\bar{x})} \nabla_1 \ell(\bar{x}, z, w_z)^T d$, mentre $\xi_d(\bar{x}, z)$ è definito da

$$\begin{cases} \xi_d(\bar{x}, z) = \min_{e \in \mathcal{Z}_d(\bar{x}, z)} (d, e)^T \nabla^2 \ell(\bar{x}, z, w_z)(d, e) \\ \mathcal{Z}_d(\bar{x}, z) = \left\{ e \in \mathbb{R}^m \mid \nabla_1 g_i(\bar{x}, z)^T d + \nabla_2 g_i(\bar{x}, z)^T e, \quad i \in I^3 \right\} \end{cases}$$

Il cono delle direzioni ammissibili è dato da:

$$C^\lambda(\bar{x}, \bar{y}) = \{d \mid \nabla G_i(\bar{x}, \bar{y})^T d = 0 \text{ per } i \in \nu^1, \quad \nabla G_i(\bar{x}, \bar{y})^T d \leq 0 \text{ per } i \in \theta^1, \\ \nabla g_i(\bar{x}, \bar{y})^T d = 0 \text{ per } i \in \nu^2, \quad \nabla g_i(\bar{x}, \bar{y})^T d \leq 0 \text{ per } i \in \theta^2 \\ \nabla F(\bar{x}, \bar{y})^T d + \lambda f(\bar{x}, \bar{y})^T d - \lambda \nabla_1 \ell(\bar{x}, z, w)^T d^1 \leq 0 \text{ per } z \in S(\bar{x})\}$$

Il cono delle direzioni ammissibili è dato da:

$$C^\lambda(\bar{x}, \bar{y}) = \{d \mid \nabla G_i(\bar{x}, \bar{y})^T d = 0 \text{ per } i \in \nu^1, \quad \nabla G_i(\bar{x}, \bar{y})^T d \leq 0 \text{ per } i \in \theta^1, \\ \nabla g_i(\bar{x}, \bar{y})^T d = 0 \text{ per } i \in \nu^2, \quad \nabla g_i(\bar{x}, \bar{y})^T d \leq 0 \text{ per } i \in \theta^2 \\ \nabla F(\bar{x}, \bar{y})^T d + \lambda f(\bar{x}, \bar{y})^T d - \lambda \nabla_1 \ell(\bar{x}, z, w)^T d^1 \leq 0 \text{ per } z \in S(\bar{x})\}$$

La lagrangiana modificata:

$$\bar{\mathcal{L}}_\kappa^\lambda(x, y, u, w) = \kappa(F(x, y) + \lambda f(x, y)) + \sum_{i \in I^1(d)} u_i G_i(x, y) + \sum_{j \in I^2(d)} v_j g_j(x, y)$$

dove $I^1(d)$ e $I^2(d)$ sono gli indici appartenenti rispettivamente a I^1 e I^2 tali che $\nabla G_i(x, y)d = 0$ e $\nabla g_j(x, y)d = 0$.

Theorem

Sia $\zeta := (x, y, z, u, v, w)$ che soddisfa le condizioni 4-9 per qualche $\lambda > 0$. Supponi che il problema lower level sia convesso nel punto \bar{x} e che le condizioni di derivabilità valgano per tutti i $d \in C^\lambda(\bar{x}, \bar{y})$.

Allora (\bar{x}, \bar{y}) è un punto di ottimo locale stretto del problema 3 se per ogni $d \in C^\lambda(\bar{x}, \bar{y}) \setminus \{0\}$, esistono dei vettori u, v, z^t e κ_t , dove $z^t \in S_1(\bar{x}, d^1)$, per $t = 1, \dots, k$ per un certo k , tali che:

$$(d)^T \nabla \bar{\mathcal{L}}_{\kappa_0}^\lambda(\bar{x}, \bar{y}, u, w) d > \lambda \sum_{t=1}^k \kappa_t \xi_{d^1}(\bar{x}, z^t)$$

dove, $\xi_{d^1}(\bar{x}, z^t)$, sono quantità che dipendono dalla definizione di derivata seconda di φ , $\kappa_0 = \sum_{t=1}^k \kappa_t$

$$\nabla_1 \bar{\mathcal{L}}_{\kappa_0}^\lambda(\bar{x}, \bar{y}, u, v) - \lambda \sum_{t=1}^k \kappa_t \nabla_1 \ell(\bar{x}, z^t, w^t) = 0$$

$$\nabla_2 \bar{\mathcal{L}}_{\kappa_0}^\lambda(\bar{x}, \bar{y}, u, v) = 0$$

dove $\Lambda(\bar{x}, z^t) = \{w^t\}$, e

$$\kappa_0 + \sum_{i \in I^1(d)} u_i + \sum_{j \in I^2(d)} v_j = 1$$

$$\kappa_0 \geq 0, \quad u_i \geq 0 \text{ per } i \in I^1(d), \quad v_j \geq 0 \text{ per } j \in I^2(d)$$

Idea di dimostrazione

- ① ϕ_λ ammette derivata direzionale e vale

$$\phi'_\lambda(\bar{x}, \bar{y}; d) \geq 0 \quad \forall d \in \mathbb{R}^{n+m}$$

- ② ϕ_λ ammette derivata direzionale seconda e soddisfa la condizione:

$$\inf_{e \in \mathbb{R}^{n+m}} \phi''(\bar{x}, \bar{y}; d; e) > 0 \quad \text{per tutti i } d \neq 0 \quad \text{t.c.} \quad \phi'_\lambda(\bar{x}, \bar{y}; d) = 0$$

- ③ ϕ_λ soddisfa quella che viene chiamata condizione di epiregolarità del secondo ordine, ovvero:
per ogni $d \in \mathbb{R}^{n+m}$, $t \geq 0$, e ogni cammino $e : \mathbb{R}_+ \rightarrow \mathbb{R}^{n+m}$ tale che $te(t) \rightarrow 0$ per $t \downarrow 0$ vale:

$$\phi_\lambda \left((\bar{x}, \bar{y}) + td + \frac{1}{2} t^2 e(t) \right) \geq \phi_\lambda(\bar{x}, \bar{y}) + t \phi'_\lambda(\bar{x}, \bar{y}; d) + \frac{1}{2} t^2 \phi''_\lambda(\bar{x}, \bar{y}; d; e(t)) + o(t^2)$$

Dei problemi presenti nella libreria, i veri valori ottimi sono noti per il 70% di essi. Per ognuno dei valori del parametro di penalizzazione osserviamo che il metodo converge sempre almeno il 87 delle volte. Inoltre l'ordine di convergenza sperimentale è stato osservato essere oltre 1.5 per oltre il 70% dei problemi.

Table 2. Performance of Algorithm 1 for $\lambda \in \Lambda$.

λ	2^{-1}	2^0	2^1	2^2	2^3	2^4	2^5	2^6	2^7
Number of failures	6	3	2	1	5	9	12	14	16
$\alpha_K = 1$	109	111	113	115	112	108	108	109	103
$y^K \approx z^K$	85	83	75	70	65	64	68	82	96
$v^K \approx w^K$	32	45	39	37	37	41	41	38	42
Average iterations	152.3	84.3	129.1	154.3	194.6	288.9	357.4	375.9	451.3
Average time	0.18	0.08	0.13	0.17	0.21	0.27	0.32	0.34	0.40

Numerical experiments

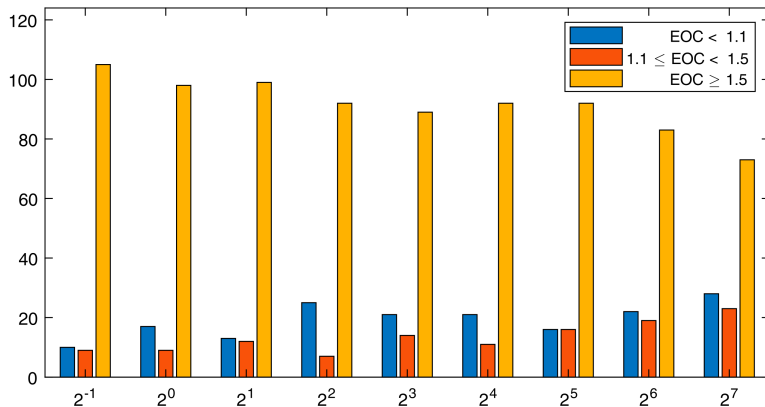


Figure 1. Experimental order of convergence (EOC) of Algorithm 1 for $\lambda \in \Lambda$.

Grazie per l'attenzione

- [1] A. Fischer, A. B. Zemkoho, and S. Zhou, “Semismooth newton-type method for bilevel optimization: Global convergence and extensive numerical experiments,” *Optimization Methods and Software*, vol. 37, no. 5, pp. 1770–1804, 2022. doi: 10.1080/10556788.2021.1977810. eprint: <https://doi.org/10.1080/10556788.2021.1977810> (cit. on p. 1).